

# СПИНОВОЕ И НОРМАЛЬНОЕ ГОРЕНИЕ ГАЗА В ЗАКРУЧЕННОМ ПОТОКЕ

*А.А.Борисов, П.А.Куйбин, В.Л.Окулов*

Рассмотрим горение закрученного потока газа в цилиндрической трубе на основе недавно полученного авторами нового аналитического решения задачи о закрученном течении, индуцируемом спиральным вихрем в трубе [1]. Считаем движение установившимся, а горение происходящим на фронте пламени, который надо определить. По аналогии с работой [2] будем изучать движение и форму пламени, которое распространяется, не меняя свойства газа и характеризуется тем, что поверхность пламени движется относительно газа по нормали к своей поверхности с определенной нормальной скоростью горения  $u_n$ . В отличие от осесимметричного профиля скорости, заданного в [2], рассмотрим поле скоростей соответствующее закрученному течению в трубе радиуса  $R$  с циркуляцией  $\Gamma$  и расходом  $Q$ . Как показано в [1], такое течение определяется вихревой структурой винтовой фермы с шагом  $h = 2\pi l$  по оси  $Oz$ , направленной вдоль трубы по потоку, с ядром конечного радиуса  $\varepsilon$ , центр которого отстоит от оси трубы на расстоянии  $a$ . Ограничимся рассмотрением случая  $a = 0$ . Осуществив предельный переход в (18) из [1], для скорости  $w$  в цилиндрических координатах  $(\rho, \varphi, z)$ , получим

$$w_\rho \equiv 0,$$

$$w_\varphi = \frac{\Gamma}{2\pi\rho} \begin{cases} \rho^2/\varepsilon^2, & \rho \leq \varepsilon \\ 1, & \rho > \varepsilon, \end{cases} \quad (1)$$

$$w_z = \frac{\Gamma}{2\pi l} \begin{cases} \beta - \rho^2/\varepsilon^2, & \rho \leq \varepsilon \\ \beta - 1, & \rho > \varepsilon, \end{cases} \quad (2)$$

где  $\beta = 1 - (\varepsilon^2/2 - 2Ql/\Gamma)/R^2$ . Заметим, что при  $l \rightarrow \infty$  полученное решение в точности совпадает с вихрем Рэнкина. Формулы (1), (2) при конечных значениях  $l$  более точно описывают реальное поле скоростей закрученного течения в трубе. В частности, из формулы (2) видно, что при значениях  $\Gamma < 0$  и  $Q/\Gamma > (\varepsilon^2/2 - R^2)/2l$ , в приосевой зоне трубы возникает противоток.

Распределение скорости (1-2) позволяет рассмотреть два режима горения: поступательное распространение фронта горения вдоль оси трубы (нормальное горение) и винтовое (спиновое горение). В первом режиме поверхность пламени  $\chi(\rho, \varphi, z, t) = 0$  распространяется поступательно вдоль оси  $Oz$  со скоростью  $c_1$  относительно трубы и не зависит от переменной  $\varphi$ , т.е.  $\chi_1 = z + c_1 t - f_1(\rho) = 0$ , где функция  $f_1(\rho)$  описывает форму поверхности пламени. Во втором режиме пламя распространяется по винтовым

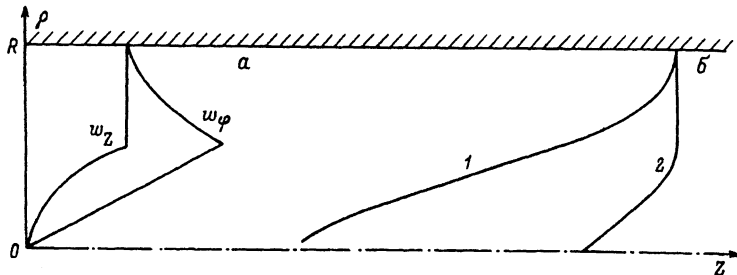


Рис. 1. Установившееся спиновое и нормальное горение в закрученном потоке в трубе: а — профили осевой  $w_z$  и окружной  $w_\varphi$  составляющих скорости потока; б — образующая поверхности пламени для спинового (1) и нормального (2) горения.

линиям с шагом  $h = 2\pi l$ , т.е.  $\chi_2 = z - l\varphi + c_2 t - f_2(\rho) = 0$ . Исходя из кинематического правила сложения скоростей и принципа Гюйгенса для эволюции фронта пламени, уравнение изменения поверхности запишем в виде

$$\frac{\partial \chi}{\partial t} = u_n |\nabla \chi| - \mathbf{w} \nabla \chi.$$

Подставляя сюда  $\chi_1$  и  $\chi_2$ , запишем уравнения, интегрированием которых определяются формы поверхностей пламен

$$\frac{df_1}{d\rho} = \pm \sqrt{\left( \frac{c_1 + w_z}{u_n} \right)^2 - 1}, \quad (3)$$

$$\frac{df_2}{d\rho} = \pm \sqrt{\left( \frac{c_2 \rho - l w_\varphi + \rho w_z}{\rho u_n} \right)^2 - \left( \frac{l}{\rho} \right)^2 - 1}. \quad (4)$$

Исследуем форму пламени при нормальном горении. Предположим, что направление движения фронта пламени совпадает с направлением потока. Тогда скорость распространения пламени  $c_1 = -u_n - w_{\max}$ , где  $w_{\max}$  — максимальная скорость потока в направлении от смеси к продуктам горения. При положительной закрутке потока ( $\Gamma > 0$ ) профиль осевой скорости имеет форму, рассмотренную в [2]. Форма пламени качественно совпадает с приведенной в [2]. Отрицательной закрутке потока ( $\Gamma < 0$ ) соответствует профиль осевой скорости с минимальным значением на оси трубы и максимальным при  $\varepsilon < \rho < R$ , т.е.  $c_1 = -u_n - |\Gamma|(1 - \beta)/2\pi l$  (рис. 1, а). Знак радикала в (3) выбран положительным из условия отсутствия выступающих вперед угловых точек на фронте пламени. Интегрируя уравнение (3) с учетом сказанного, получаем форму пламени, которая представляет собой осесимметричную конусообразную структуру (рис. 1, б). Выступающая вперед часть пламени имеет форму кольца площадью  $\pi(R^2 - \varepsilon^2)$ , расположенного у стенок трубы. Глубина конуса  $H$  пропорциональна размеру

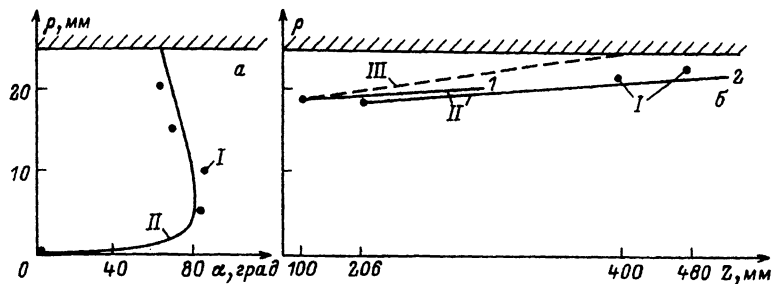


Рис. 2. Сравнение результатов расчета с экспериментом [3]. а — угол направления потока с осью трубы, I — эксперимент для пламени N2, II — расчет; б — образующие поверхности пламени, I — эксперимент, II — расчет по модели спинового горения, (1) — образующая в сечении  $\varphi = 0$ , (2) — в сечении  $\varphi = 2\pi$ ; III — расчет по модели нормального горения.

ядра вихря  $\varepsilon$  и зависит от комплекса  $k = |\Gamma|/(2\pi l u_n)$ . В частности, при  $l \gg 1$  (при большой закрутке потока)  $H \approx \varepsilon k / 3\pi$ , а при  $k \ll 1$   $H \approx \sqrt{\pi k} \varepsilon / 4$ . Скорость сгорания смеси  $U = F u_n$ , определяемая через площадь поверхности пламени  $F$ , может быть вычислена аналитически  $U = \pi R^2 u_n + |\Gamma| \varepsilon^2 / 4l$ . С увеличением закрутки увеличивается и скорость сгорания смеси.

При спиновом горении поверхность пламени имеет форму шнека с шагом  $h = 2\pi l$ . Его образующая  $f_2(\rho)$  в сечении  $\varphi = \text{const}$  показана на рис. 1,б. Скорость распространения пламени в этом случае

$$c_2 = -u_n \sqrt{1 + \left(\frac{l}{R}\right)^2} - \frac{|\Gamma|}{2\pi l} \left(1 - \beta + \left(\frac{l}{R}\right)^2\right).$$

Практическую ценность представляет режим стационарного горения ( $c_1 = c_2 = 0$ ), который реализуется в различного рода циклонных камерах сгорания. Наиболее полные экспериментальные данные, включающие результаты исследования аэродинамики закрученного потока и формы поверхности пламени в цилиндрической трубе, приведены в [3]. На рис. 2,а проведено сопоставление расчетной зависимости угла потока  $\alpha(\rho)$  с измеренной в [3] ( $\tan \alpha = w_\varphi / w_z$ ). Величины, характеризующие топологию течения  $l$ ,  $\varepsilon$ ,  $\beta$ , входящие в  $w_\varphi$  и  $w_z$ , определялись из условия наилучшей аппроксимации экспериментальной зависимости  $\alpha(\rho)$  и для пламени N2 имеют значения:  $\beta = -0.1$ ,  $\varepsilon = 0.0175$ ,  $l = 0.048$  м. Значение циркуляции  $\Gamma$  вычислялось по расходу воздуха  $Q$  ( $\Gamma = 6.3 \text{ м}^2/\text{s}$ ). Форма пламени в [3] представляет собой полый цилиндр (рис. 2,б). Для ее расчета по предложенным моделям необходимо оценить величину нормальной скорости горения  $u_n$ . По условиям эксперимента чистый метан поступал в трубу через центральное отверстие. Закрученный поток воздуха вводился на периферии. Полагая, что воспламенение происходило при достижении концентрации, равной граничному значению самовоспламенения 11.5% [4], находим  $u_n = 0.3 \text{ м/с}$ . Расчет стационарного фронта пламени по модели нормального горения (3) дает поверхность усеченного ко-

нуса, замыкающегося на стенку трубы (рис. 2,б), что противоречит опытным данным. В расчете же по модели спинового горения (4) получаем пламя, некасающееся стенок. Его форма представляет собой участок шнековой поверхности с малым углом отклонения от оси, что позволяет интерпретировать ее как полый цилиндр. На рис. 2,б линии 1 и 2 соответствуют двум последовательным виткам спирали шнека, которые хорошо описывают радиальные расстояния от оси до фронта пламени, полученные в эксперименте [3]. Близкое расстояние между витками, значительно меньшее толщины пламени, не дает возможности визуально разделить их в эксперименте. Однако возможна ситуация, когда расстояние между витками соизмеримы или превосходят толщину пламени. В этом случае фронт пламени должен иметь в сечении  $\varphi = \text{const}$  пилообразную (волнистую) структуру. Подобная картина фронта пламени наблюдалась в [5]. Косвенное подтверждение существования шнековой структуры пламени дает неоднородное по углу свечение пламени в сечении  $z = \text{const}$ , видимое на фотографиях [5].

Таким образом, получены аналитические решения для формы пламени и скорости сгорания смеси для нормального и спинового распространения фронта горения. Впервые показано, что стационарное спиновое горение в отличие от нормального дает те необычные формы пламени в виде шнековой поверхности или полого цилиндра, которые наблюдаются в эксперименте.

#### Список литературы

- [1] Борисов А.А., Куйбин П.А., Окулов В.Л. // Изв. СО РАН. Сиб. физ.-тех. журн. 1993. Вып. 1. С. 30–38.
- [2] Зельдович Я.Б. // ЖТФ. 1947. Т. 17. Вып. 3. С. 3–26.
- [3] Albright L.F., Alexander L.G. // Proc. VI Int. Symp. on Combustion. N.Y., 1957. P. 464–472.
- [4] Хитрин Л.Н. Физика горения и взрыва. М.: МГУ, 1957.
- [5] Sakai Y., Ishizuka S. // JSME. Ser. II. 1991. V. 34. N 2. P. 234–241.

Институт теплофизики СО РАН  
Новосибирск

Поступило в Редакцию  
14 июня 1993 г.